

鋼纖維補強コンクリートの曲げ破壊過程のシミュレーション

岐阜大学 学生員 ○大島光晴、山本達也

岐阜大学 正会員 六郷恵哲、岩瀬裕元、小柳 治

1. まえがき

各種強度、韌性あるいは耐衝撃性などに対し優れた性質を持つ鋼纖維補強コンクリート(SFRC)を将来、積極的に効果的に利用していく上では、混入する鋼纖維やマトリックスによるコンクリートの力学的特性或SFRC自体の耐力のみならず韌性などに、どのように影響を及ぼすかについて明らかにしておく必要がある。本研究は、SFRCの最大耐力点以後を含めた破壊メカニズムと共に破壊過程の中で鋼纖維が果す役割を定量的に把握するために、SFRCの曲げ破壊過程のシミュレーションを行なったものである。

2. 研究内容

SFRCの力学的特性は、マトリックスによるコンクリートの強度や鋼纖維の混入量だけではなく、鋼纖維の形状、材質、マトリックス中の配筋状態、付着性状などによって左右されるところが多いと指摘されてる。しかし、これらの諸因子とSFRC自体の強度、韌性などとの相関性については十分な解明がなされていない。本研究は特に、SFRCのマトリックスにレジンコンクリートを使用した場合を想定し、混入する鋼纖維の効果を評価しつつ破壊のメカニズムを仮定して、鋼纖維が破断する場合と鋼纖維がマトリックスから抜け出す場合に分けて、それに伴うSFRC断面内の応力-ひずみ関係をモデル化することによってSFRCの曲げ破壊におけるモーメント-曲率関係ないしは、荷重-変位関係を算定し、実際の破壊過程との整合性について検討を行なった。

【応力-ひずみモデルの仮定】 レジンコンクリートの引張応力-ひずみ曲線は、以前実験によって得られた正曲げ荷重-変位曲線より図-1の様な形状になると考えられる³⁾。この様な形状を持つ曲線は最大耐力点において、破壊に要する以上のエネルギー(W_R)がありエネルギーとして蓄えられてるためには不安定な破壊を起こすことを示し、一般的の変位制御の方法では計測は不可能である^{3), 4)}。しかし、鋼纖維を混入することによりこの様な破壊形態は改善される。つまりレジンコンクリート中に蓄えられたエネルギー(W_R)はひび割れが発生した瞬間に鋼纖維に移行し消費されると考えられる。次に鋼纖維の応力-ひずみ曲線を図-2の様に仮定するとならば、 $W_R = W_f$ となりマトリックスにひび割れが発生した瞬間に鋼纖維のひずみは ϵ_{fc} から ϵ_f へ変化し、その後の破壊断面内の荷重は鋼纖維のみを受け持たれるとして。今、マトリックスの単位断面積を A_R 、その中に含まれる鋼纖維の面積を A_f とするとき、ひび割れ発生直前と直後の力の割合はより

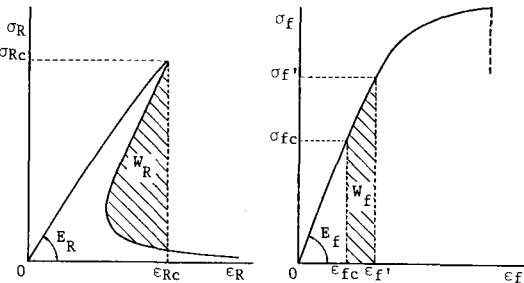


図-1 レジンコンクリート 応力-ひずみ曲線 (引張り)

混入することによりこの様な破壊形態は改善される。つまりレジンコンクリート中に蓄えられたエネルギー(W_R)はひび割れが発生した瞬間に鋼纖維に移行し消費されると考えられる。次に鋼纖維の応力-ひずみ曲線を図-2の様に仮定するとならば、 $W_R = W_f$ となる。マトリックスにひび割れが発生した瞬間に鋼纖維のひずみは ϵ_{fc} から ϵ_f へ変化し、その後の破壊断面内の荷重は鋼纖維のみを受け持たれるとして。今、マトリックスの単位断面積を A_R 、その中に含まれる鋼纖維の面積を A_f とするとき、ひび割れ発生直前と直後の力の割合はより

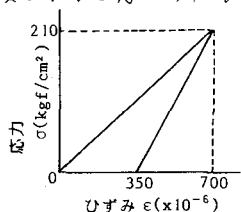


図-3 レジンコンクリート 応力-ひずみ曲線モデル (引張り)

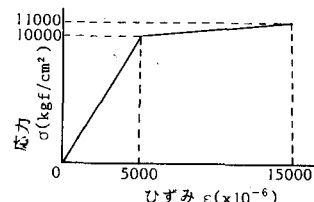


図-4 鋼纖維 応力-ひずみ曲線モデル (引張り)

$(1 + P \cdot n_f) A_f \cdot \bar{v}_f = A_f \cdot \bar{v}_f$ ($E_f L, P = A_f / AR, n_f = E_f / ER$) となる。すなはち、鋼纖維混入率を n_f として、配筋係数を入力すれば、 $P = A_f / AR = \lambda \bar{v}_f$ の関係が得られる。なお、曲げ破壊過程において、マトリックス中の鋼纖維が抜け出す場合、マトリックスの付着強度を τ_f 、鋼纖維の周長を D 、付着長を l とすると、 $\tau_f \cdot D \cdot l = A_f \cdot \bar{v}_f$ の関係が成り立つ。

レジンコンクリートと鋼纖維の引張応力-ひずみ曲線モデルを図-3、図-4に示す。またこれらを用いて先の式より設定したSFRCの引張応力-ひずみ曲線モデルを図-5に示す。

この中で、Aタイプは鋼纖維が全て破断する場合、Bタイプは鋼纖維が全て抜け出す場合を示す。なお、SFRCの圧縮応力-ひずみ曲線モデルを図-6に示す。なお、鋼纖維は、 $\phi 10 \times 40\text{mm}$ の寸法で混入率を2%と設定した。

[計算方法] 問題とするSFRCの部材寸法は、通常の曲げ強度試験の場合と同じく $10 \times 10 \times 40\text{cm}$ とし、3等分点載荷(エーメットスパン: 10cm)を参考にした。計算手順としては、断面を数個の要素に分割して、引張ひずみを設定し、中立軸 x を仮定することにより各要素のひずみを求め、先に設定したSRCの圧縮、引張応力-ひずみモデルより各要素の応力度を求め、力の釣合いが満足するように中立軸 x を仮定し直し、エーメット比曲率を計算した。また得られたモード曲率より荷重-変位関係を算定した。フローチャートを図-7に示す。

3. 結果と考察

計算より得られた荷重-変位曲線を図-8に示す。また実験より得られた代表的な荷重-変位曲線を図-9に示す。Aタイプの様に鋼纖維が全て破断するものについては実験データが不足のため比較するに至らなかったが、Bタイプで得られた荷重-変位曲線は、実験で得られたものと比較的の合致した。従つて、本研究の解析方法はほぼ整合性のあるものと考えられる。今後さらに、より精度の高い解析方法を検討する必要があるものの、本解析概念は、必要とする強度ある且つ剛性を持つSFRCの設計を考える上での有効な手段の一つと考えられる。

<参考文献>

- 1) 小柳、大綱、内田
“コンクリートの破壊現象の安定性とその計測”
コンクリート論文
No.82-6, 1982年6月
- 2) 小柳、六郷、大野
“エーメット供試体の下限値を含む荷重-変位曲線の自動計測法”
土木学会論文集
第45号、昭和52年6月

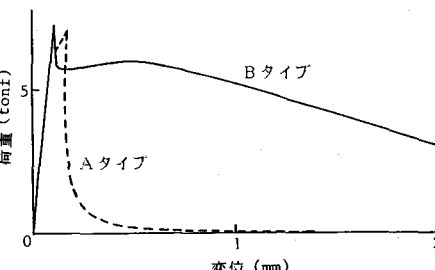


図-8 SFRC 荷重-変位曲線（計算値）

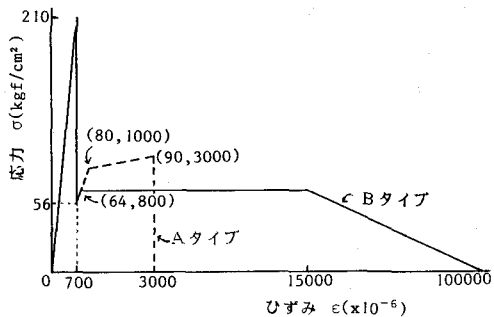


図-5 SFRC
応力-ひずみ曲線モデル（引張り）

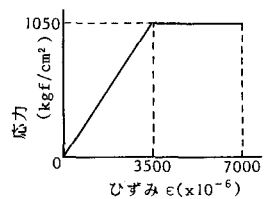


図-6 SFRC
応力-ひずみ曲線モデル（圧縮）

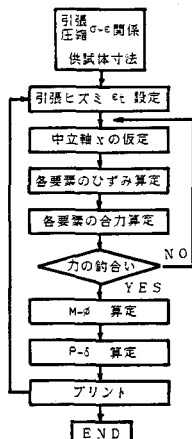


図-7
フローチャート

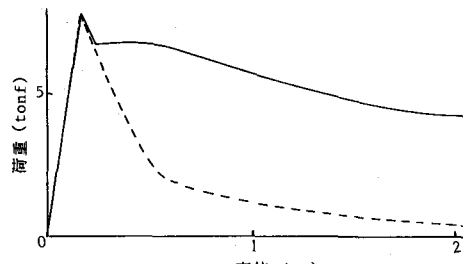


図-9 SFRC 荷重変位曲線（実験値）

- 3) 佐井、中村
“鋼纖維補強コンクリートにおける鋼纖維の特性と曲げ強度に関する研究”
鋼纖維補強コンクリートに関するシンポジウム、1984年2月。